

УДК 62.822

МОДЕЛИРОВАНИЕ ТЕЧЕНИЯ ГАЗА В КАНАЛАХ И ГИДРОМАШИНАХ

А.А. Шейпак



ШЕЙПАК
Анатолий
Александрович

Доктор технических наук, профессор кафедры «Электротехника, теплотехника, гидравлика и энергетические машины» МГИУ. Академик Российской академии транспорта, профессор и действительный член Международной академии наук Сан-Марино, действительный член Международной академии наук и искусств. Заместитель председателя Научно-методического совета по теплотехнике, член Научно-методического совета по механике и председатель Научно-методической комиссии по гидравлике Министерства образования и науки Российской Федерации. Специалист в области термодинамики и теплотехники, гидравлических и тепловых машин различного назначения. Автор более 200 работ, в том числе трех монографий, учебника, 40 изобретений.

Введение

На практике достаточно часто встречается изотермическое течение газа в трубах. Чем больше отношение длины газопровода к его диаметру, тем более вероятным является изотермический процесс. Между тем в научной и учебной литературе обычно рассматривается

© Шейпак А.А., 2007

либо адиабатическое течение, либо течение с подводом тепла в общем виде. При испытании гидромашин и гидропневмоаппаратов проверку герметичности обычно проводят воздухом или гелием. В этом случае целесообразно рассмотреть задачу об изотермическом течении газа через узкие щели (каналы). Число Рейнольдса при движении газа в канале постоянного сечения при изотермическом течении будет оставаться постоянным по длине газопровода.

Обычно для моделирования течений рабочего тела в энергетических машинах большой мощности – гидравлических турбинах и насосах, применяется модель газообразного рабочего тела [1]. Однако в случае принятия гипотезы несжимаемого рабочего тела со средним арифметическим значением плотности ее используют без достаточного обоснования граничных значений параметров режимов.

В настоящей работе представлены математические и физические модели течения газа в неподвижных (на примере трубы) и врачающихся (на примере насоса) каналах с целью определения пределов динамического подобия в предположении справедливости гипотезы несжимаемой сплошной среды со среднеарифметическим значением плотности.

Изотермическое ламинарное течение газа через плоский канал

Рассмотрим модельную задачу об изотермическом течении газа через плоский канал

вдоль оси x , причем величина высоты канала по оси $y = y(x)$ намного меньше длины канала. Изменением давления по оси y пренебрегаем.

Уравнение неразрывности в этом случае примет следующий вид:

$$V_x \frac{\partial p}{\partial x} + p \left(\frac{\partial V_x}{\partial x} + \frac{\partial V_y}{\partial y} \right) = 0. \quad (1)$$

Уравнения движения в приближении Рейнольдса будут:

$$\frac{\partial P}{\partial x} = \mu \frac{\partial^2 V_x}{\partial y^2}, \quad \frac{\partial p}{\partial y} = 0, \quad (2)$$

где, μ – коэффициент динамической вязкости.

Плотность газа определяется уравнением состояния Клапейрона-Менделеева (термически совершенный газ):

$$\rho = \frac{pM}{RT}, \quad \frac{\partial \rho}{\partial x} = \frac{M}{RT} \frac{\partial p}{\partial x},$$

где M – молекулярная масса, R – универсальная газовая постоянная.

Интегрируя уравнение неразрывности по высоте канала

$$\int_0^h V_x \frac{M}{RT} \frac{\partial p}{\partial x} dy + \frac{pM}{RT} \left[\int_0^h \frac{\partial V_x}{\partial x} dy + \int_0^h \frac{\partial V_y}{\partial y} dy \right] = 0,$$

после несложных преобразований можно получить следующее уравнение:

$$\frac{\partial p}{\partial x} \int_0^h V_x dy + p \frac{\partial}{\partial x} \int_0^h V_x dy = 0.$$

Будем искать решение для скорости в таком виде:

$$V_x = \frac{1}{2\mu} \frac{\partial p}{\partial x} y(y-h).$$

Тогда уравнение для поля давлений будет:

$$\left(\frac{\partial p}{\partial x} \right)^2 \frac{h^3(x)}{6} + p \frac{h^3(x)}{6} \frac{\partial^2 p}{\partial x^2} + p \frac{\partial p}{\partial x} \frac{h^2(x)}{2} \frac{dh}{dx} = 0. \quad (3)$$

При $h = const$ уравнение принимает следующий вид:

$$\left(\frac{\partial p}{\partial x} \right)^2 + p \frac{\partial^2 p}{\partial x^2} = 0.$$

Обозначив $\frac{\partial p}{\partial x} = z$, $\frac{\partial^2 p}{\partial x^2} = \frac{dz}{dx} = z \frac{dz}{dp}$, получим

уравнение

$$z + p \frac{dz}{dp} = 0,$$

для которого нетрудно получить аналитическое решение с учетом граничных условий $p(0) = p_1$,

$p(l) = p_2$ в виде:

$$p = \sqrt{p_1^2 - (p_1^2 - p_2^2) \frac{x}{l}}, \quad (4)$$

где p_1 – давление в начальном сечении канала; p_2 – давление в конечном сечении канала; l – длина канала.

Если $\rho = const$, то $\frac{\partial p}{\partial x} = -\frac{p_1 - p_2}{l}$ и
 $p = p_1 - (p_1 - p_2) \frac{x}{l}.$

Сравнение эпюр давления термически совершенного газа и несжимаемой жидкости для двух значений начального давления представлено на рис. 1.

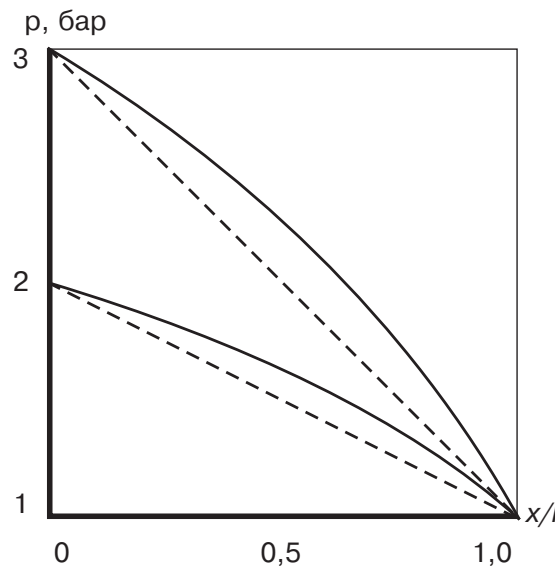


Рис. 1. Эпюра давлений для изотермического течения газа (сплошная кривая) и для жидкости с постоянной плотностью (пунктирная прямая)

Для изотермического течения газа

$$\frac{\partial p}{\partial x} = -\frac{p_1^2 - p_2^2}{2pl} = -\frac{p_1^2 - p_2^2}{2l \sqrt{p_1^2 - (p_1^2 - p_2^2) \frac{x}{l}}} \quad (5)$$

и эпюра скоростей будет описываться следующей формулой:

$$V_x = -\frac{1}{4\mu l} \frac{p_1^2 - p_2^2}{p} y(y-h) = \\ = -\frac{1}{4\mu l} \frac{p_1^2 - p_2^2}{\sqrt{p_1^2 - (p_1^2 - p_2^2) \frac{x}{l}}} y(y-h). \quad (6)$$

Массовый расход газа можно подсчитать как

$$Q_M = \rho b \int_0^h V_x dy,$$

где b – размер канала в поперечном направлении.

После несложных преобразований получаем:

$$Q_M = -\frac{Mb}{RT} \frac{1}{4\mu l} (p_1^2 - p_2^2) \int_0^h y(y-h) dy = \frac{M}{RT} \frac{1}{4\mu l} (p_1^2 - p_2^2) \frac{h^3 b}{6}.$$

Вводя средние значения давления и плотности

$$p_{av} = \frac{p_1 + p_2}{2}, \quad \rho_{av} = \frac{p_{av} M}{RT},$$

получаем следующие формулы для массового и объемного расходов газа:

$$Q_M = \rho_{av} \frac{(p_1 - p_2) h^3 b}{12 \mu l}, \quad Q = \frac{(p_1 - p_2) h^3 b}{12 \mu l}. \quad (7)$$

Эти формулы верны при дозвуковой скорости газа, причем ее максимальное значение реализуется в выходном сечении канала:

$$V_{max} = \frac{h^2 (p_1^2 - p_2^2)}{16 \mu l / p_2} \leq a = \sqrt{kRT},$$

где a – скорость звука; k – показатель адиабаты.

После несложных преобразований можно получить формулу для предельной величины давления на входе в канал:

$$p_1^* = \sqrt{p_2^2 + \frac{16 \mu l p_2 \sqrt{kRT}}{h^2}}. \quad (8)$$

Например, для канала длиной 10 мм и высотой 0,1 мм при истечении воздуха в атмосферу предельное давление будет равно 2,77 бар, что соответствует отношению давлений $\varepsilon = \frac{p_2}{p_1} = 0,361$.

Заметим, что при изоэнтропийном истечении критическое отношение давлений равно $\varepsilon = 0,528$, а при изотермическом течении газа в трубе $\varepsilon = 0,605$. Эти значения получены в предположении постоянного значения коэффициента гидравлического трения и равномерной эпюры скоростей, причем в случае изотермического течения при значении $M^2 < 1/k$ в цилиндрической трубе скорость по длине трубы возрастает, а при значениях $M^2 > 1/k$ скорость по длине трубы уменьшается. Следовательно, значение $M = \sqrt{T/k}$ для изотермического течения в трубе является таким же критическим (точнее предельным), как значение $M = 1$ для адиабатного течения. Перейти через это значение M , которое при $k=1,4$ (в частности для воздуха) равно 0,845, сохраняя изотермическое течение, невозможно, так как малейшее отклонение числа

M от предельного значения в сторону увеличения приводит к изменению знака приращения dM , и поток вновь возвращается к предельному состоянию.

В нашем случае при увеличении длины канала и уменьшении его высоты величина критического давления на входе в него возрастает.

Однако, по всей вероятности, уже при $p_1 < p_1^*$ формулы (4)–(8) могут давать большие отклонения от действительных значений параметров рабочего тела из-за пренебрежения величинами конвективных составляющих ускорения в уравнениях движения (2).

Границу применимости полученного решения можно определить из обычно принимаемого условия: $M \leq 0,3$. Тогда величину предельного значения давления на входе в канал можно определить по следующей формуле:

$$p_1^* = \sqrt{p_2^2 + \frac{5 \mu l p_2 \sqrt{kRT}}{h^2}}. \quad (9)$$

Разумеется, необходимо соблюдать условие по числу Рейнольдса [2]:

$$Re = \frac{M}{RT} \frac{(p_1^2 - p_2^2) h^3}{24 \mu l^2} \leq 25. \quad (10)$$

Так, при длине канала $l = 10$ мм и высоте канала $h = 0,01$ мм число Рейнольдса будет равно 18.

Турбулентное изотермическое течение в трубе постоянного сечения

Потери давления на трение в трубе при турбулентном режиме течения на участке длиной dx можно вычислить по формуле Дарси:

$$dp = \lambda (dx/D) (\rho V^2/2), \quad (11)$$

где λ – коэффициент гидравлического трения (коэффициент Дарси); D – диаметр трубы; $\rho = \rho(x)$, $V \equiv V_x = V(x)$.

Интегрируя в предположении, что $\lambda = \text{const}$ от начального до конечного сечений, удаленных друг от друга на расстояние l , получим такое выражение:

$$p_1^2 - p_2^2 = \lambda (l/D) (\rho V)^2 (RT).$$

Преобразуем его следующим образом:

$$(p_1 + p_2)(p_1 - p_2) = (l/D)(\rho_1 V_1)(\rho_2 V_2)(RT).$$

Считая среднее арифметическое и среднее геометрическое значения давления равными, приходим к расчетной формуле для гипотетической несжимаемой жидкости со средней плотностью:

$$(p_1 - p_2) = \lambda(l/D)(\rho_{av} V_{av}^2 / 2). \quad (11)$$

Если $2(p_1 - p_2)/(p_1 + p_2) < 0,2$, то ошибка от такой замены не превысит 1%. Следовательно, истинное изотермическое течение газа можно моделировать течением гипотетической несжимаемой жидкости с плотностью, равной средней плотности газа в начальном и конечном сечениях как для потерь на трение, так и для местных гидравлических сопротивлений.

Тогда коэффициент гидравлических потерь по формуле Вейсбаха можно подсчитать следующим образом:

$$\zeta = \frac{2\Delta p A^2}{\rho_{av} Q_M^2}, \quad (12)$$

где $\Delta p = (p_1 - p_2)$ разность полных давлений для входа и выхода из канала.

Правомерность предложенной модели течения проверялась для двух гидравлических образцов. Исследовалось местное сопротивление в виде диафрагмы с острой входной кромкой диаметром $d = 6$ мм, размещенной в трубопроводе с внутренним диаметром $D = 20$ мм. Для определения потерь на трение испытывался трубопровод из хромоникелевой стали длиной 2134 ± 2 мм и диаметром $d = 10$ мм. Перед начальным сечением с кольцевым отбором давления был предусмотрен участок для стабилизации течения длиной $l = 100D$.

Для проверки системы измерений были проведены эксперименты по определению коэффициента Дарси λ в функции числа Re для малых чисел Маха ($M < 0,2$). Результаты экспериментов представлены на рис. 2, где показана и кривая, полученная по формуле Блазиуса. Совпадение экспериментальных результатов с теоретической зависимостью подтверждает корректность проведения экспериментов.

Зависимость коэффициента ζ от числа M , подсчитанного по величине отношения давле-

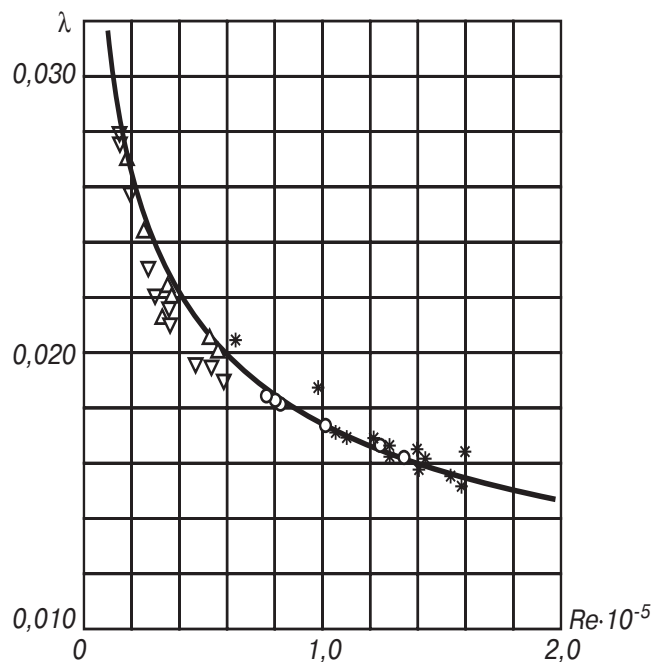


Рис. 2. Зависимость коэффициента Дарси от числа Рейнольдса

ний в предположении изоэнтропичности (на нижней шкале отложена степень понижения давлений), представлена на рис. 3. Режимы испытаний при изменении числа M выбирались таким образом, чтобы число Рейнольдса оставалось постоянным и равным $6 \cdot 10^5$.

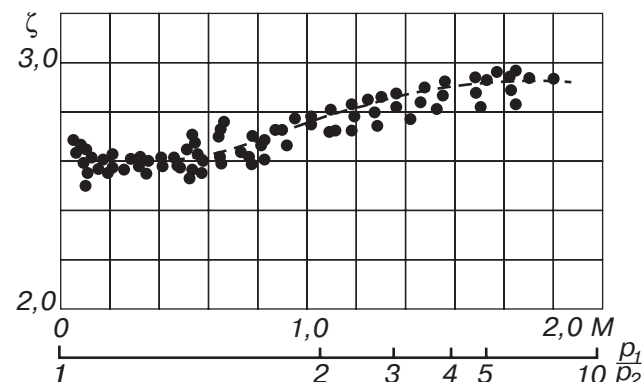


Рис. 3. Зависимость коэффициента местных гидравлических потерь ζ от величины числа Маха и отношения давлений

Из рассмотрения зависимостей, представленных на рис. 3, можно сделать заключение, что для $M < 0,7$ коэффициент местных гидравлических потерь не зависит от сжимаемости рабочего тела, причем его величина ($\zeta = 2,60$) в пределах точности измерений совпадает с ве-

личной ζ для несжимаемой жидкости (данные И. Е. Идельчика [3]). Для $M > 0,7$, вплоть до второго критического режима, коэффициент ζ является слабо возрастающей монотонной функцией. Отличие в значениях коэффициента гидравлических потерь в области второго критического режима от аналогичных значений в области малых чисел M не превышает 10 %.

На рис. 4 представлена зависимость коэффициента Дарси λ в функции изоэнтропийного числа M при постоянном числе Рейнольдса, равном 10^5 .

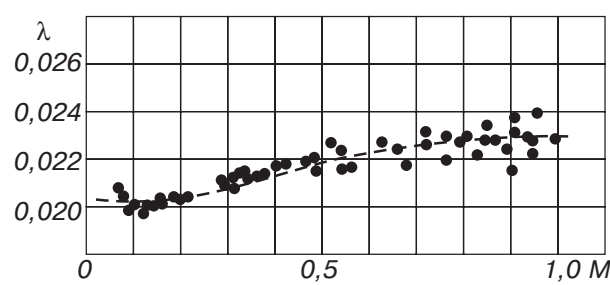


Рис. 4. Зависимость коэффициента Дарси λ от числа Maxa M при $Re = 10^5$

Потери на трение зависят от сжимаемости рабочего тела, начиная с чисел $M > 0,3$ ($\rho_1/\rho_2 > 1,1$). Однако после области интенсивного увеличения коэффициента трения ($0,3 < M < 0,7$) для $M > 0,7$, вплоть до режима запирания, величина практически не изменяется.

Моделирование работы двухступенчатого центробежного насоса

Гидравлическая машина состоит из совокупности неподвижных и подвижных каналов, совершающих возвратно поступательное или вращательное движение. Чаще реализуется турбулентный режим течения жидкости, однако при перекачке вязких жидкостей нередко наблюдается ламинарный режим, особенно в уплотнительных устройствах.

При испытаниях гидравлических машин реальное (натурное) рабочее тело часто заменяется газом (для уменьшения мощности). Обычно применяют воздух, однако в некоторых случаях для получения автомодельного режима по числу Рейнольдса целесообразно исполь-

зовать газы с высокой молекулярной массой. Течение газа во вращающихся каналах машин в области оптимальных режимов работы близко к изоэнтропийному, при существенном отклонении от оптимального режима процесса приближается к изотермическому.

Можно показать, что для случая изоэнтропийного процесса использование величины напора H по средней плотности равносильно оставлению двух членов в разложении ряда $H = f(\frac{\Delta p}{p})$. Величина изоэнтропийного напора определяется по следующей формуле [4]:

$$H = \frac{k}{k-1} \frac{RT_1}{g} \left[\left(\frac{p_2}{p_1} \right)^{\frac{k-1}{k}} - 1 \right] = \frac{k}{k-1} \frac{p_1}{gp_1} \left[\left(\frac{p_2}{p_1} \right)^{\frac{k-1}{k}} - 1 \right].$$

Очевидно, что

$$\left(\frac{p_2}{p_1} \right)^{\frac{k}{k-1}} = 1 + \frac{k-1}{k} \frac{\Delta p}{p_1} + \frac{k-1}{k} \left(\frac{k-1}{k} - 1 \right) \frac{1}{2} \left(\frac{\Delta p}{p_1} \right)^2 + \dots .$$

Ограничивааясь членом с $(\frac{\Delta p}{p_1})^2$, получим:

$$H = \frac{\Delta p}{gp_1} \left[1 - \frac{1}{2k} \frac{\Delta p}{p_1} \right] \approx \frac{\Delta p}{gp_1} \frac{1}{1 + \frac{1}{2k} \frac{\Delta p}{p_1}} .$$

Так как $(\frac{p_2}{p_1})^k = \frac{p_2}{p_1}$, то $p_2 \approx p_1 \left(1 + \frac{1}{k} \frac{\Delta p}{p_1} \right)$ и

$$\rho_{av} = \frac{\rho_1 + \rho_2}{2} = \rho_1 \left(1 + \frac{1}{2k} \frac{\Delta p}{p_1} \right) .$$

Тогда

$$H = \frac{\Delta p}{g\rho_{av}} .$$

Нами были проведены испытания двухступенчатого центробежного насоса для подачи жидкого водорода с осевой предвключенной ступенью на входе для обеспечения высоких антикавитационных характеристик. Обе ступени насоса имеют спиральные отводы. Плавающие кольца были подпружинены для гарантии их нормальной работы. В насосе между первой и второй ступенями имеется устройство для компенсации осевой силы (гидродинамическая пята). Наружный диаметр ступеней $D_2=158\text{мм}$, угол установки лопатки на выходе $\beta_2=30^\circ$.

Целью испытаний являлось получение напорной характеристики и, главное, проверка работоспособности гидродинамической пяты в большом диапазоне режимов работы.

Первая серия испытаний была проведена на насосе с фиксированной величиной зазора в пяте для сравнения напорных характеристик, полученных на воде, фреоне-22 и воздухе. Напорные характеристики в координатах $\bar{H} = \frac{H}{n^2}$ и $\bar{Q} = \frac{Q}{n}$ (Q – подача рабочего тела) практически совпали для всех рабочих тел за исключением области $\bar{Q} > 1,1 \cdot 10^{-6}$, где в случае воды появилась кавитация в горле диффузора. Значения приведенного напора \bar{H} для номинального значения $\bar{Q} = 0,8 \cdot 10^{-6} \frac{m^3 \cdot \text{мин}}{\text{об} \cdot \text{сек}}$ представлены в табл. 1.

То же время статический напор (\bar{H}_{c1} и \bar{H}_{c2} , соответственно) остается практически неизменным вплоть до $M_u = 0,4$. Таким образом, область моделирования при проверке работы гидродинамической пяты существенно больше, чем при моделировании напорной характеристики.

На основании приведенных результатов можно сделать заключение о возможности моделирования осевых сил при работе насосов на режимах, когда нельзя пренебречь влиянием сжимаемости рабочего тела.

Для обобщения напорных характеристик в области больших чисел M_u была применена по-

Таблица 1

Приведенный напор для различных рабочих тел

Рабочее тело	вода	воздух	фреон-22
$\bar{H}, \frac{m \cdot \text{мин}^2}{\text{об}^2}$	$8,50 \cdot 10^{-7}$	$8,42 \cdot 10^{-7}$	$8,51 \cdot 10^{-7}$

Число Maxa M_u (по окружной скорости) для воздуха равно 0,12, для фреона-22 – 0,14. Число Рейнольдса $Re = \frac{u_1 D_1}{V_1}$ изменялось при работе на воздухе от $1 \cdot 10^5$ до $2 \cdot 10^5$, при работе на фреоне-22 – от $1,5 \cdot 10^5$ до $8 \cdot 10^5$, при работе на воде $Re = 15 \cdot 10^5$. Меньшие значения приведенного напора в случае воздуха можно объяснить более низкими средними значениями числа Рейнольдса на границе автомодельности по этому критерию.

Проверка работы насоса при больших числах оборотов проводилась с использованием в качестве рабочего тела фреона-22 ($Re \approx 4 \cdot 10^5$) и фреона-318 ($Re \approx 3,5 \cdot 10^5$). Последний был выбран для проведения экспериментов потому, что на нем легко получать большие величины M_u при умеренных числах оборотов, ограниченных при автономных испытаниях насоса работоспособностью стенда.

Напор насоса и статический напор на диаметре рабочего колеса подсчитывался по среднему значению плотности ρ_{av} . Анализ экспериментальных данных показал, что полный напор за ступенем (\bar{H}_1 и \bar{H}_2 соответственно) не автомоделен по числу Maxa, начиная с $M_u \geq 0,2$. В то

время Прандтля-Глауэрта [1] для расчета обтекания профиля крыла в дозвуковом потоке газа. Для насоса она будет выглядеть следующим образом:

$$\bar{H} = \frac{\tilde{H}}{\sqrt{1 - M_u^2}},$$

где \tilde{H} – приведенный напор при работе насоса на несжимаемом рабочем теле; \bar{H} – приведенный напор – на сжимаемом рабочем теле.

Или, поскольку течение происходит в спиральном отводе, более корректна поправка по абсолютной, а не по переносной скорости:

$$\bar{H} = \frac{\tilde{H}}{\sqrt{1 - M_{V2}^2}}.$$

Обобщение экспериментальных данных по числу M_{V2} дало несколько лучшие результаты. В табл. 2 приведены дисперсии рассеяния величин приведенных напоров \bar{H} и \tilde{H} относительно соответствующих средних значений.

Пересчет полных напоров на несжимаемую жидкость ведет к уменьшению дисперсии, статических – к ее увеличению. Различия между дисперсиями значимы по критерию Фишера с уровнем значимости 0,05.

Таблица 2
Сравнение дисперсий приведенных
напоров

Дисперсии	Рабочее тело	
	Фреон-22, $n=5$	Фреон-318, $n=4$
$D(\bar{H}) \cdot 10^4$	4,3	9,2
$D(\tilde{H}) \cdot 10^4$	0,5	1,0
$D(\bar{H}_1) \cdot 10^4$	1,3	1,0
$D(\tilde{H}_1) \cdot 10^4$	0,2	0,3
$D(\bar{H}_2) \cdot 10^4$	0,44	0,41
$D(\tilde{H}_2) \cdot 10^4$	0,14	0,29
$D(\bar{H}_{c1}) \cdot 10^4$	0,002	0,06
$D(\tilde{H}_{c1}) \cdot 10^4$	0,02	1,5
$D(\bar{H}_{c2}) \cdot 10^4$	0,1	0,01
$D(\tilde{H}_{c2}) \cdot 10^4$	0,3	0,16

Выводы

1. В приближении Рейнольдса получено аналитическое решение задачи изотермического течения газа через узкий канал постоянного сечения.

2. Установлена граница применимости режимов приближенного моделирования гидравлических устройств, включающих местные гидравлические сопротивления и сопротивления трения на сжимаемых рабочих телах.

3. Показана возможность моделирования работы центробежных насосов на сжимаемых рабочих телах.

Список литературы

- Повх И.Л. Аэродинамический эксперимент в машиностроении, – М.Л.: Машиностроение, 1965. – 480 с.
- Шейпак А.А. Гидравлика и гидропневмопривод: Учебник. Ч. 1: Основы механики жидкости и газа. 5-е изд., перераб. и доп. – М.: МГИУ, 2006. – 266 с.
- Идельчик И.Е. Справочник по гидравлическим сопротивлениям.– М.Л.: Госэнергоиздат, 1960. – 464 с.
- Теплотехника / Под ред В.Н. Луканина. – М.: Высшая школа, 2000. – 672 с.